

УДК 621.52

к.т.н. Руднев Е. С.,
к.т.н. Грицюк В. Ю.,
к.т.н. Щербак В. В.

(ДонДТУ, г. Лисичанск, Україна)

СИНТЕЗ И АНАЛИЗ ЧУВСТВИТЕЛЬНОСТИ РОБАСТНОЙ СИСТЕМЫ УПРАВЛЕНИЯ СИНХРОННЫМ ЭЛЕКТРОПРИВОДОМ

Рассмотрена инженерная методика синтеза робастной системы управления электроприводом переменного тока на базе синхронного электродвигателя с возбуждением от постоянных магнитов с H_∞ -субоптимальным регулятором скорости, функционирующей в условиях неполной информации об объекте и с учетом его структурных неопределенностей. Показано, что использование робастного регулятора позволяет существенно уменьшить влияние параметрических и внешних возмущений на качество регулирования. Получены результаты моделирования в пакете Matlab/Simulink.

Ключевые слова: синхронный электропривод, робастное управление, неопределенность, чувствительность, моделирование.

Проблема и ее связь с научными и практическими задачами.

Одной из основных проблем современной теории управления является управление динамическими объектами в условиях неопределенности. Неопределенность вызывается отсутствием полных сведений относительно параметров или характеристик объекта управления (ОУ), кроме того, сама математическая модель ОУ, полученная аналитически или в результате идентификации, отличается от реальной технической системы.

В последние десятилетия развивается подход, когда при наличии неопределенности возникает задача управления не единственным объектом, а семейством объектов, принадлежащих заданному множеству. По сравнению с алгоритмами классической теории управления необходимо единственным регулятором обеспечить устойчивость замкнутой системы не только для номинального объекта, но и любого объекта из заданного класса неопределенности – это и есть задача синтеза робастного управления (H_∞ -теория).

Интерес к синтезу робастных регуляторов связан с потребностями в снижении необходимого объема априорной инфор-

мации об объектах управления, стремлением к универсальности управляющих систем и сокращению затрат на их наладку. Следует признать, что, несмотря на серьезные теоретические достижения [1-3], в том числе и в области автоматизированного электропривода, методы H_∞ -оптимизации не вошли в повседневную отечественную и зарубежную практику. Это объясняется доминированием на рынке комплектных электроприводов с «классическими» алгоритмами управления.

Постановка задачи. Разработка эффективных алгоритмов регулирования скорости синхронных электродвигателей с постоянными магнитами (СДПМ), обеспечивающих улучшение их качества в смысле малой чувствительности к значениям изменяющихся и заранее неопределенных параметров.

Изложение материала и его результаты. Математическая модель СДПМ приведена в ряде работ [4-6]. Линеаризованная математическая модель СДПМ как объекта управления, необходимая для синтеза, приведена авторами в [7].

© Руднев Е. С., 2018

© Грицюк В. Ю., 2018

© Щербак В. В., 2018

Передаточную функцию по отношению к управляющему воздействию:

$$W_{\omega, U_{1q}}(p) = \frac{(Z_{\Pi} \psi_{1d0})^{-1}}{(T_{\varepsilon 1} T_{m1} p^2 + T_{m1} p + 1)}. \quad (1)$$

Анализ передаточной функции (1) показывает, что динамические характеристики синхронного двигателя, работающего в режиме вентильного двигателя (бесколлекторного двигателя постоянного тока) аналогичны соответствующим характеристикам обычного электродвигателя постоянного тока. Структура, составленная на основе полного линеаризованного описание СДПМ [7] соответствует структуре описания двигателя постоянного тока с независимым возбуждением (рис. 1). Скорость синхронного двигателя в этом режиме пропорциональна напряжению, при-

кладываемому к статорным обмоткам преобразователем частоты.

В качестве объекта для дальнейших исследований принят электропривод с преобразователем частоты SINAMICS и синхронным серводвигателем с возбуждением от постоянных магнитов типа 1FT6044-1AF71 с такими паспортными данными:

$$U_{1н} = 340 \text{ В}, \quad n_n = 3000 \text{ об/мин}, \quad Z_{\Pi} = 6,$$

$$I_{1н} = 4,9 \text{ А}, \quad J_o = 16,3 \cdot 10^{-4} \text{ кгм}^2,$$

$$K_t = 1,57 \text{ Вб}, \quad R_s = 1,4 \text{ Ом}, \quad L_d = 13,5 \text{ мГн}.$$

Используя обозначения параметров, принятые в приведенных выше описаниях, получим следующие их значения: $R_1 = R_s$, $L_1 = L_d$, $\psi_B = 0,174 \text{ Вб}$, $T_{11} = L_1 / R_1$, $T_{11} = T_{\varepsilon 1} = 9,64 \text{ мс}$, $J = 1,2 J_o$, $T_{m1} = 1,66 \text{ мс}$.

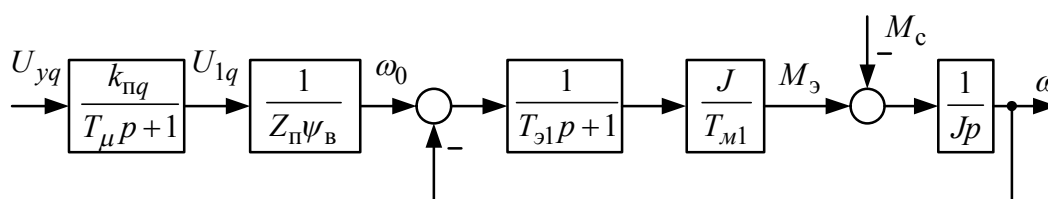


Рисунок 1 – Структурная схема линеаризованного описания СДПМ с учётом инерционности преобразователя частоты

Полагаем, что индуктивность обмотки статора L_1 изменяются в диапазоне $\pm 20\%$, активное сопротивление обмотки статора R_1 в диапазоне $\pm 30\%$, а момент инерции, приведенный к валу двигателя J – в диапазоне $\pm 40\%$ от номинальных значений. Передаточный коэффициент, постоянная времени преобразователя частоты, потокосцепление, создаваемое постоянными магнитами на роторе машины ψ_B , считаются постоянными величинами.

Описание вышеуказанных неопределенностей, которые либо точно не известны, либо изменяются в процессе работы электропривода, представленных как линейное дробное преобразование (ЛДП); определение динамики входов/выходов

системы в матричном представлении с учетом неопределенностей как $\mathbf{G}(s)$ - матрица передаточных функций (МПФ), а также последовательность преобразования структурных схем объекта управления с неопределенными параметрами, рассмотрены авторами в [6,8].

На рисунке 2 приведены логарифмические частотные характеристики (ЛАЧХ и ЛФЧХ) возмущенной (неопределенной) разомкнутой системы, которые получены при различных значениях параметров возмущения δ_L , δ_R , δ_J , выбирается 3 величины для каждого возмущения, в соответствии с созданной МПФ разомкнутой системы [6, 8].

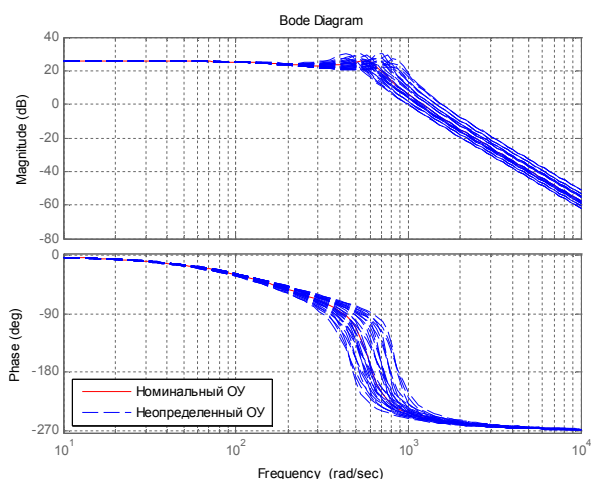


Рисунок 2 – Семейство ЛАЧХ и ЛФЧХ возмущенной системы в пределах $-1 \leq \delta_L, \delta_R, \delta_I \leq 1$

В H_∞ -теории Дж. Дойлом и др. было доказано, что стандартная задача H_∞ -управления (которая часто называется задачей минимизации энергии выхода) может быть развязана с помощью решения двух алгебраических уравнений Риккати [1] и связана со структурной схемой, представленной на рисунке 3.

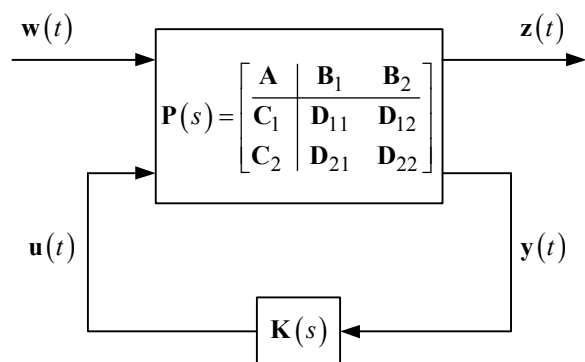


Рисунок 3 – Структурная схема синтезируемой системы (стандартная задача H_∞ -управления)

На рисунке 3 приняты следующие обозначения:

$w(t)$ – вектор внешних воздействий (возмущающих и задающих);

$y(t)$ – вектор измеряемого выхода, используемый для улучшения качества работы САР (вектор, по которому замыкается через регулятор обратная связь);

$u(t)$ – выходной вектор регулятора (вектор управляющих воздействий);

$z(t)$ – вектор ошибки, используемый для контроля качества САР (вектор, который необходимо сделать минимальным в определенном смысле).

Матрица передаточных функций $P(s)$ представляет не только сам объект $G(s)$, которым необходимо управлять, но и т.н. весовые функции, которые используются для обеспечения желаемого качества. Такого рода объект $P(s)$ называется обобщенным (расширенным) объектом, структурная схема которого показана на рисунке 4.

На рисунке 4 $G(s)$ – МПФ объекта управления; $K(s)$ – робастный регулятор; $P(s)$ – МПФ обобщенного объекта с учетом весовых функций; $W_S(s)$, $W_R(s)$ и $W_T(s)$ – весовые функции, зависящие от частоты.

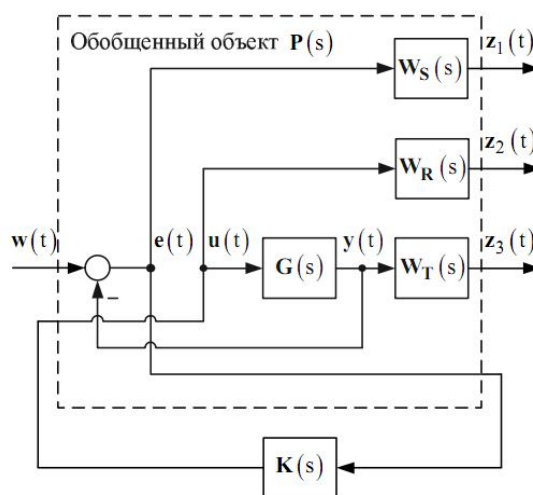


Рисунок 4 – Структурная схема обобщенного объекта

Далее (s) и (t) будут опускаться.

Матричная передаточная функция от задающего входного воздействия w к ошибке слежения z называется функцией чувствительности:

$$S = (I + GK)^{-1}. \quad (2)$$

Передаточная функция от задающего входного сигнала к выходу называется дополнительной функцией чувствительности:

$$\mathbf{T} = \mathbf{GK}(\mathbf{I} + \mathbf{GK})^{-1}. \quad (3)$$

Заметим, что МПФ замкнутой системы \mathbf{T} устанавливает связь между выходом системы и входом сигнала задания. Эта ПФ также определяет, как шум датчика (помеха измерения) влияет на выход системы. Функция чувствительности \mathbf{S} описывает выход как функцию входа возмущения. Она также определяет реакцию ошибки слежения на сигнал задания, т.е. \mathbf{S} является передаточной функцией по ошибке. Из определений \mathbf{S} и \mathbf{T} , следует что

$$\mathbf{S} + \mathbf{T} = \frac{\mathbf{I}}{\mathbf{I} + \mathbf{GK}} + \frac{\mathbf{GK}}{\mathbf{I} + \mathbf{GK}} = \mathbf{I}. \quad (4)$$

Матричная передаточная функция чувствительности управления:

$$\mathbf{R} = \mathbf{K}(\mathbf{I} + \mathbf{GK})^{-1}. \quad (5)$$

Таким образом, \mathbf{T} является дополнительной функцией чувствительности, так как \mathbf{T} в сумме с \mathbf{S} равно единице. Выражение (4) является важной зависимостью, которая вводит ограничение на достигаемое качество. \mathbf{S} является чувствительностью ПФ замкнутой системы к малым возмущениям в \mathbf{G} .

Функция чувствительности \mathbf{S} и дополнительная функция чувствительности \mathbf{T} в сочетании с весовыми функциями \mathbf{W}_S , \mathbf{W}_R и \mathbf{W}_T широко применяются для оценки качества в H_∞ -теории [6].

Например, критерий качества может быть выражен неравенством:

$$\|\mathbf{W}_S \mathbf{S}\|_\infty < 1 \quad (6)$$

В дальнейшем ищется регулятор такой, чтобы минимизировать норму $\|\mathbf{z}_1, \mathbf{z}_2, \mathbf{z}_3\|_\infty$. При этом для парирования возмущений необходимо иметь ошибку ϵ в диапазоне низких частот, а для обеспечения устойчивости и подавления высокочастотных по-

мех желательно иметь малое значение \mathbf{y} в высокочастотном диапазоне. Для этого нужно ошибку ϵ в диапазоне низких частот «взвешивать» с большим весом, чем при высоких частотах, т.е. амплитуда частотной характеристики \mathbf{W}_S должна уменьшаться при увеличении частоты (\mathbf{W}_S – фильтр низких частот). Напротив, амплитуда частотной характеристики \mathbf{W}_T должна увеличиваться при увеличении частоты (\mathbf{W}_T – фильтр высоких частот). Что касается частотной характеристики \mathbf{W}_R , то она может оказаться необходимой для ограничения мощности управления, а также как параметр, настраиваемый для регулирования быстродействия. Так как сингулярная величина $S(j\omega)$ определяет ослабление возмущений, то требуемое ослабление возмущений может быть задано как

$$\sigma_1(S(j\omega)) \leq |W_S^{-1}(j\omega)|. \quad (7)$$

Имея в виду сказанное выше, границы для остальных функций чувствительности задаются в виде:

$$\sigma_1(R(j\omega)) \leq |W_R^{-1}(j\omega)|. \quad (8)$$

$$\sigma_1(T(j\omega)) \leq |W_T^{-1}(j\omega)|. \quad (9)$$

При этом должно выполняться условие

$$\sigma_1(W_S^{-1}(j\omega)) + \sigma_1(W_T^{-1}(j\omega)) > 1. \quad (10)$$

Из изложенного видно, что выбор весовых функций является неоднозначной задачей, требующей для своего решения достаточного опыта разработчика, а также применения метода проб и ошибок. От выбора этих частотных характеристик зависит также и возможность довести решение задачи H_∞ -управления до конца.

После задания весовых матриц существующая система расширяется так, что она включает в себя уравнения этих матриц как дополнительные фазовые координаты.

Расширенная система для синтеза регулятора представляет собой объект \mathbf{P} .

Обобщенный объект \mathbf{P} (см. рис. 3) имеет два входа (\mathbf{w} и \mathbf{u}), два выхода (\mathbf{z} и \mathbf{y}) и может быть разделен на четыре МПФ:

$$\mathbf{P} = \begin{bmatrix} \mathbf{P}_{11} & \mathbf{P}_{12} \\ \mathbf{P}_{21} & \mathbf{P}_{22} \end{bmatrix} = \begin{bmatrix} \mathbf{W}_S & -\mathbf{W}_S \mathbf{G} \\ 0 & \mathbf{W}_R \\ 0 & \mathbf{W}_T \mathbf{G} \\ \mathbf{I} & -\mathbf{G} \end{bmatrix}, \quad (11)$$

где \mathbf{P}_{ji} - МПФ от i -го входа до j -го выхода.

$\mathbf{F}_L(\mathbf{P}, \mathbf{K})$ - это МПФ замкнутой системы от входа возмущения \mathbf{w} до выхода ошибки (контролируемая переменная) \mathbf{z} , \mathbf{T}_{zw} , которая получена путем нижнего линейно-дробного преобразования (LLFT) [3, 6]:

$$\mathbf{z} = \mathbf{T}_{zw} \mathbf{w} = \mathbf{F}_L(\mathbf{P}, \mathbf{K}) \mathbf{w}. \quad (12)$$

$$\begin{aligned} \mathbf{T}_{zw} &= \mathbf{F}_L(\mathbf{P}, \mathbf{K}) = \\ &= \mathbf{P}_{11} + \mathbf{P}_{12} \mathbf{K} (\mathbf{I} - \mathbf{P}_{22} \mathbf{K})^{-1} \mathbf{P}_{21}. \end{aligned} \quad (13)$$

Все требования к системе по ослаблению возмущений и обеспечению запаса устойчивости сводятся к единственному требованию к норме

$$\|\mathbf{T}_{zw}\|_{\infty} \leq 1, \quad (14)$$

где

$$\mathbf{T}_{zw} = \begin{bmatrix} \mathbf{W}_S \mathbf{S} \\ \mathbf{W}_R \mathbf{R} \\ \mathbf{W}_T \mathbf{T} \end{bmatrix}, \quad (15)$$

– так называемая функция стоимости метода смешанной чувствительности (mixed sensitivity).

Следовательно, задачей H_{∞} -оптимизации является выбор такого регулятора \mathbf{K} , который бы минимизировал бесконечную норму \mathbf{T}_{zw} или $\min \|\mathbf{T}_{zw}\|_{\infty}$. Причем выбор оптимального регулятора \mathbf{K} осуществляется над множеством всех регуляторов, обладающих свойством де-

лать замкнутую систему \mathbf{T}_{zw} внутренне устойчивой, т.е. над множеством стабилизирующих регуляторов. Для SISO системы H_{∞} -норма передаточной функции $\mathbf{G}(s)$, $\|\mathbf{G}\|_{\infty}$ в скалярном выражении конечна и равна максимальному значению амплитудно-частотной характеристики $\mathbf{G}(j\omega)$. Таким образом, H_{∞} -норма служит мерой усиления системы. H_{∞} -норма ПФ есть энергия выхода системы при подаче на вход сигнала с единичной энергией. Если выходом является ошибка, а входом возмущение, то минимизируя H_{∞} -норму ПФ, мы минимизируем энергию ошибки для наихудшего случая входного возмущения.

Для создания обобщенного объекта \mathbf{P} использовались следующие весовые функции:

$$\mathbf{W}_S = \frac{s/M + \omega_0}{s + \omega_0 A}; \quad \mathbf{W}_R = const, \quad (16)$$

где $A = 0,001$ (-60 дБ) - желаемая максимально допустимая установившаяся ошибка в установившемся режиме; $\omega_0 = 200$ с $^{-1}$ - желаемая полоса пропускания; $M = 4$ (12 дБ) - пик чувствительности.

На рисунке 5 приведена инверсия весовой функции чувствительности \mathbf{W}_S^{-1} .

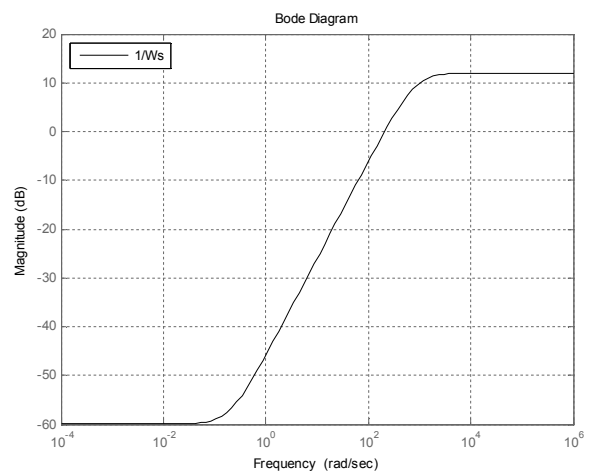


Рисунок 5 – Частотная характеристика инверсии весовой функции чувствительности \mathbf{W}_S^{-1}

Весовая функция дополнительной чувствительности

$$\mathbf{W}_T = \frac{s + \omega_0 / M}{As + \omega_0} \quad (17)$$

– не использовалась.

Весовые функции \mathbf{W}_S , \mathbf{W}_R и \mathbf{W}_T «накладывают штраф» на сигнал ошибки, сигнал управления и выходной сигнал соответственно. Общие рекомендации для выбора весовых функций и формирования контура управления (loopshaping) изложены в [6].

Весовые функции являются рациональными, устойчивыми, минимально-фазовыми передаточными функциями (т.е. нет полюсов или нулей в правой полуплоскости). Отметим, что при целенаправленном изменении параметров весовых функций A , ω_0 и M (см. рис. 5) можно достичь желаемых характеристик качества системы управления, что показано авторами в работах [3, 6].

Алгоритмы синтеза H_∞ -регулятора с использованием «Два-Риккати подхода» приведены в [1, 6].

Робастный H_∞ -субоптимальный регулятор скорости СДПМ был синтезирован с помощью эффективных методов реализованных в пакете расширения Robust Control Toolbox системы MATLAB, позволяющих по представленным алгоритмам вычислить H_∞ -субоптимальный регулятор, который минимизирует H_∞ -норму замкнутой системы $\|\mathbf{T}_{zw}\|_\infty$. Синтезированный робастные регуляторы скорости по критерию H_∞ -нормы является регуляторами 4 порядка. Достигнутая H_∞ -норма замкнутой системы, полученная в ходе итерационного процесса, составила 0,5308.

На рисунке 6 приведена функция чувствительности ограниченная по амплитуде весовой функцией чувствительности $\mathbf{W}_S(s)$, т.е. выполнение условия (7) $\bar{\sigma}(\mathbf{S}(j\omega)) \leq \underline{\sigma}(\mathbf{W}_S^{-1}(j\omega))$. Эта верхняя грань амплитуды инвертирована, чтобы

получить весовую функцию чувствительности $\mathbf{W}_S(s)$. Итак, если $\mathbf{S}(s)$ умножить на весовую функцию $\mathbf{W}_S(s)$, то амплитуда $\mathbf{W}_S\mathbf{S}(s)$ будет меньше или равна чем единица на всей частоте

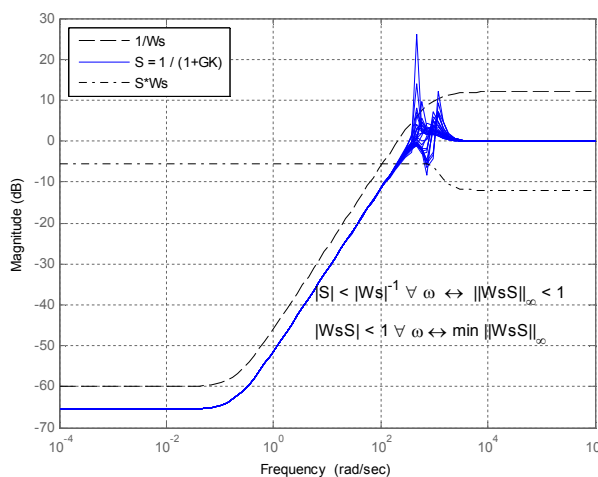


Рисунок 6 – Частотные характеристики функции чувствительности \mathbf{S} и ее произведение с весовой функцией \mathbf{W}_S

Этот пример называют «весовой задачей чувствительности» так как H_∞ -регулятор минимизирует максимальную величину $\mathbf{W}_S\mathbf{S}$ на всей частоте.

Синтезированный средствами Robust Control Toolbox H_∞ -субоптимальный регулятор скорости представим уравнением в пространстве состояний:

a =					b =	
	x1	x2	x3	x4	u1	
x1	-0.2006	11.7	-0.06689	-0.9372	x1	3.346
x2	11.7	-2.175e+04	5435	3280	x2	-98.31
x3	0.06689	-5435	-0.7222	-21.65	x3	-0.5535
x4	-0.9372	3280	21.65	-	x4	7.819
2502						
c =					d =	u1
y1	3.346	-98.31	0.5535	7.819	y1	0

На рисунке 7 представлены результаты моделирования ЭП с H_∞ -регулятором скорости отработка замкнутой САР заданной траектории при одновременном изменении момента инерции J и сопротивления обмотки статора R_s в 4 раза.

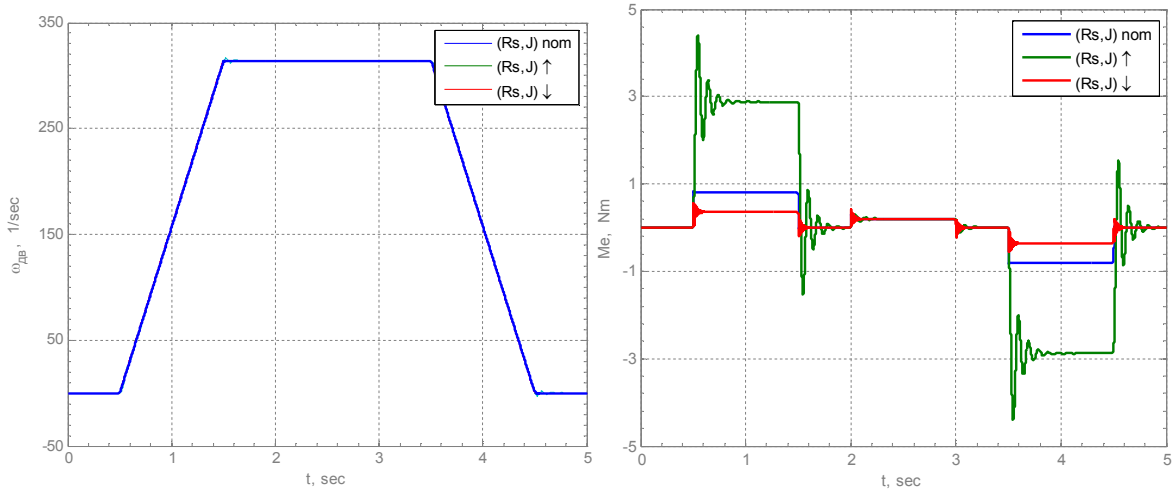


Рисунок 7 – Результаты моделирования робастной САР при одновременном изменении J и R_s в 4 раза от номинальных

Эффективность робастной системы подтверждена экспериментальными исследованиями СДПМ и питания его от ПЧ SINAMICS S120 [8, 9].

Выводы. Синтезирован робастный H_∞ -субоптимальный регуляторы скорости СДПМ в условиях неполной информации

об объекте и с учетом его неопределенностей. Полученный H_∞ -регулятор обеспечивает системе управления робастные характеристики качества (снижает чувствительность системы к изменениям параметров объекта до необходимого уровня) и заданную точность поддержания скорости.

Библиографический список

1. Doyle J.C. State-space solutions to standard H_2 and H_∞ control problems / J.C. Doyle, K. Glover, P.P. Khargonekar, B.A. Francis // *IEEE Trans. Automat. Control.* – 1989. – Vol.34. № 8. – P.831-847.
2. Методы робастного, нейро-нечеткого и адаптивного управления / под ред. Н. Д. Егупова; изд. 2-е, стер. – М.: Изд-во МГТУ им. Н. Э. Баумана, 2002. – 744 с.
3. Полилов Е. В. Синтез алгоритмов робастного управления синхронным электродвигателем методами H_∞ -теории / Е. В. Полилов, Е. С. Руднев, С. П. Скорик // *Вісник Кременчуцького державного університету імені Михайла Остроградського.* – Кременчук: КДУ, 2010. – Ч. 3, вип. 4 (63). – С.15-20.
4. Chee-Mun Ong. *Dynamic Simulation of Electric Machinery Using Matlab/Simulink*, Prentice Hall, Englewood Cliffs, NJ, 1997. – 626 p.
5. Kim Mun-Soo. A robust control of permanent magnet synchronous motor using load torque estimation / Kim Mun-Soo, Dall-Sup Song, Yong-Kil Lee, Tae-Hyun Won and other. // *IEEE International Symposium on Industrial Electronics.* – 2001. – Vol. 2. – P.1157-1162.
6. Полилов Е. В. Робастное управление синхронным электроприводом: монография / Е. В. Полилов, Е. С. Руднев, С. П. Скорик. – Алчевск: ДонГТУ, 2012. – 253 с.
7. Руднев Е. С. Линеаризованная математическая модель синхронного двигателя с постоянными магнитами как объекта управления / Е. С. Руднев, Д. И. Морозов // *Сборник научных трудов Донбасского государственного технического университета.* – Лисичанск: ДонГТУ, 2016. – Вып.1(45). – С. 88-93.

8. Руднев Е. С. Практическая реализация и исследование робастных алгоритмов управления синхронным электроприводом / Е. С. Руднев // *Електромеханічні і енергозберігаючі системи*. – Кременчук: КрНУ, 2012. – Вип. 3 (19). – С.102-107.

9. Исследовательский стенд для апробации алгоритмов управления сложными электромеханическими системами / Е. В. Полилов, А. М. Батрак, Е. С. Руднев, С. П. Скорик, П. В. Горелов // *Електротехнічні та комп'ютерні системи*. – Київ: Техніка, 2011. – № 3 (79). – С. 481-487

*Рекомендована к печати к.т.н., проф. ДонГТУ Шевченко И. С.,
д.т.н., проф. ДДТУ Садовым А. В.*

Статья поступила в редакцию 20.04.2018

к.т.н. Руднев Є. С., к.т.н. Грицюк В. Ю., к.т.н. Щербак В. В.

(ДонДТУ, м. Лисичанськ, Україна)

СИНТЕЗ І АНАЛІЗ ЧУТЛИВОСТІ РОБАСТНОЇ СИСТЕМИ КЕРУВАННЯ СИНХРОННИМ ЕЛЕКТРОПРИВОДОМ

Розглянута інженерна методика синтезу робастної системи керування електроприводом змінного струму на базі синхронного електродвигуна зі збудженням від постійних магнітів з H_∞ -субоптимальним регулятором швидкості, що функціонує в умовах неповної інформації про об'єкт із урахуванням його структурних невизначеностей. Показано, що використання робастного регулятора дозволяє істотно зменшити вплив параметричних і зовнішніх збурень на якість регулювання. Отримано результати моделювання в пакеті Matlab/Simulink.

Ключові слова: синхронний електропривод, робастне керування, невизначеність, чутливість, моделювання.

PhD (Engineering) Rudniev Ye. S., PhD (Engineering) Gritsyuk V. Yu.,

PhD (Engineering) Scherbak V. V. (DonSTU, Lisichansk, Ukraine)

SYNTHESIS AND ANALYSIS OF SENSITIVITY OF THE ROBUST CONTROL SYSTEM OF A SYNCHRONOUS ELECTRIC DRIVE

The engineering methodology for the synthesis of robust control system of AC Drive basis on synchronous motor with permanent magnet excitation with the and H_∞ -suboptimal speed controllers, which functions under incomplete information about the plant and subject to its structural uncertainties. It is shown that the use of a robust controller allows to significantly reduce the influence of parametric and external disturbances on the quality of regulation. The simulation results in the Matlab/Simulink.

Key words: synchronous electric drive, robust control, uncertainty, sensitivity, modeling.